

Módulo de Teoría

Clase 11, 25-02-2021

Anamaría Font V.

Universidad Central de Venezuela

LA-CoNGA-physics

mattermost.redclara.net@afont



Latin American alliance for
Capacity building in Advanced physics
LA-CoNGA physics



Cofinanciado por el
programa Erasmus+
de la Unión Europea

UAN
UNIVERSIDAD NACIONAL



UNIVERSIDAD
NACIONAL DE
INGENIERÍA

UNMSM



UNIVERSIDAD SIMÓN BOLÍVAR

Université
de Paris

TECHNISCHE
UNIVERSITÄT
DRESDEN

UNIVERSITÄT
DUISBURG
ESSEN



CLARA

DBACCESS

frontier x
ANALYTICS

Recap Clase 10

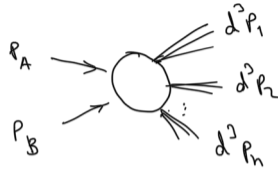
Amplitudes de Scattering

$$i\mathcal{M} \cdot (2\pi)^4 \delta^{(4)}(p_A + p_B - \sum p_f)$$

= suma de todos los diagramas de Feynman completamente conectados y amputados, con p_A, p_B entrantes y p_1, \dots, p_n salientes

una vez determinados los diagramas se aplican las reglas de Feynman para obtener \mathcal{M}

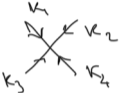
$$A + B \rightarrow 1 + 2 + \dots + n$$



$$d\sigma = \frac{|\mathcal{M}|^2}{4E_A E_B |\vec{v}_A - \vec{v}_B|} d\pi_{\text{LIPS}}$$

Reglas de Feynman para $\lambda\phi^4$

1) por cada propagador $\xrightarrow{\phi} = \frac{i}{p^2 - m^2 + i\epsilon}$

2) por cada vértice  $= -i\lambda$, se impone conservación de 4-momento

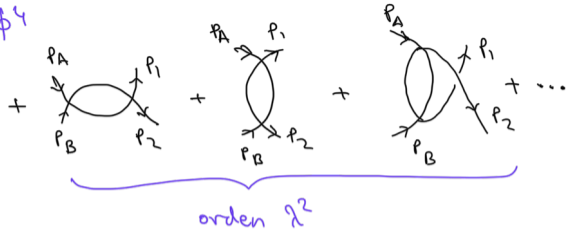
3) por cada pata externa $\rightarrow \leftarrow = 1$

4) se integra sobre el momento indeterminado de cada lazo $\int \frac{d^4k}{(2\pi)^4}$

5) se divide por el factor de simetría

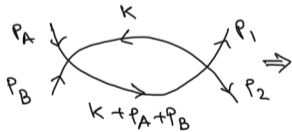
Ejemplo $A+B \rightarrow 1+2$ en $\lambda\phi^4$

$$i\mathcal{M}(2\pi)^4 \delta^{(4)}(p_A+p_B-p_1-p_2) =$$



$$i\mathcal{M} = i\mathcal{M}_1 + i\mathcal{M}_2 + \dots$$

$$i\mathcal{M}_1 = -i\lambda, \quad i\mathcal{M}_2 = i\mathcal{M}_2(s) + i\mathcal{M}_2(t) + i\mathcal{M}_2(u)$$



$$\Rightarrow i\mathcal{M}_2(s) = \frac{(-i\lambda)^2}{2} \int \frac{d^4k}{(2\pi)^4} \frac{i}{k^2 - m^2 + i\epsilon} \frac{i}{(k+p_A+p_B)^2 - m^2 + i\epsilon}$$

$\mathcal{M}_2(t), \mathcal{M}_2(u)$ similares

Ejercicio

↑
integral divergente

Se generaliza a otras teorías, adaptando vértices y propagadores

Ejemplo QED



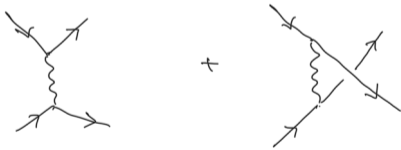
$$\frac{i\gamma^\mu p_\mu + m}{p^2 - m^2 + i\epsilon}$$



$$\frac{-i\eta_{\mu\nu}}{p^2 - i\epsilon}$$

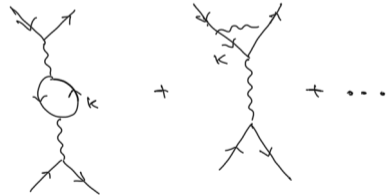
Choque $e^-e^- \rightarrow e^-e^-$

diagramas a nivel árbol (tree-level)



nada que integrar

diagramas a 1-lazo (1-loop)



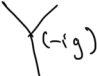
una integral $\int d^4k$ divergente

"Toy model" $g\phi^3$

$$\mathcal{L} = \underbrace{\frac{1}{2} \partial_\mu \phi \partial^\mu \phi - \frac{1}{2} m^2 \phi^2 + \frac{1}{3!} g \phi^3}_{\mathcal{L}_0 \text{ Klein-Gordon}}$$

\mathcal{L}_0 Klein-Gordon

\Rightarrow propagador \xrightarrow{p} $\frac{i}{p^2 - m^2 + i\epsilon}$

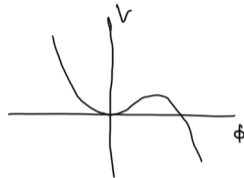
$\mathcal{L}_{int} = \frac{g}{3!} \phi^3 \Rightarrow$ vértice 

* Choque $\phi\phi \rightarrow \phi\phi$

Ahora hay diagramas a nivel árbol



$$V = \frac{1}{2} m^2 \phi^2 - \frac{1}{6} g \phi^3$$



ok en teoría de perturbaciones

$$i\mathcal{M}(2\pi)^4 \delta^{(4)}(p_A + p_B - p_1 - p_2) =$$

canal s
canal t
canal u

ya se ha impuesto conservación de 4-momento en un vértice,
 en el otro aparece $(2\pi)^4 \delta^{(4)}(p_A + p_B - p_1 - p_2)$

$$i\mathcal{M}_2 = i\mathcal{M}_2(s) + i\mathcal{M}_2(t) + i\mathcal{M}_2(u)$$

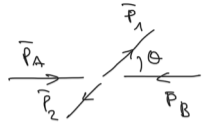
$$i\mathcal{M}_2(s) = (-ig) \frac{i}{(p_A + p_B)^2 - m^2 + i\epsilon} (-ig) = \frac{-ig^2}{s - m^2 + i\epsilon}, \quad s = (p_A + p_B)^2$$

$$i\mathcal{M}_2(t) = \frac{-ig^2}{t - m^2 + i\epsilon}, \quad t = (p_A - p_1)^2; \quad i\mathcal{M}_2(u) = \frac{-ig^2}{u - m^2 + i\epsilon}, \quad u = (p_A - p_2)^2$$

$$\left(\frac{d\sigma}{d\Omega}\right)_{cm} = \frac{g^4}{64\pi^2 E_{cm}^2} \left[\frac{1}{s - m^2} + \frac{1}{t - m^2} + \frac{1}{u - m^2} \right]^2$$

Variables de Mandelstam

$$A + B \rightarrow 1 + 2$$



Hay 2 variables cinemáticas independientes: E_{CM} y θ
Pero es conveniente introducir 3

$$s = (p_A + p_B)^2 = (p_1 + p_2)^2$$

$$t = (p_A - p_1)^2 = (p_B - p_2)^2$$

$$u = (p_A - p_2)^2 = (p_B - p_1)^2$$

$$s + t + u = m_A^2 + m_B^2 + m_1^2 + m_2^2$$

Ejercicio tarea 4

En el sistema CM, con $m_A = m_B = m_1 = m_2$

$$s = E_{CM}^2, \quad t = -2|\vec{p}_1|^2(1 - \cos\theta), \quad u = -2|\vec{p}_1|^2(1 + \cos\theta)$$

Ejercicio tarea 4

DIVERGENCIAS EN DIAGRAMAS DE FEYNMAN



$$\mathcal{I}_F \sim \underbrace{\int d^4k_1 \int d^4k_2 \dots \int d^4k_L}_{\text{1 integral por cada lazo}} \underbrace{\frac{1}{k_1^2 - m^2 + i\epsilon} \frac{1}{k_2^2 - m^2 + i\epsilon} \dots \frac{1}{k_I^2 - m^2 + i\epsilon}}_{\text{1 propagador por cada línea interna}}$$

1 integral por cada lazo
 $L = \#$ de lazos

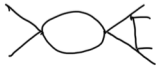
1 propagador por cada línea interna
 $I = \#$ de líneas internas

$$\text{integrando} \sim \frac{(\text{momento})^{4L}}{(\text{momento})^{2I}}$$

grado de divergencia superficial $D = 4L - 2I$

$D \geq 0$ \exists divergencia

$D < 0$ puede ser divergente, e.g.



$D = -2$ pero incluye subdiagrama



divergente

de lazos L , # de líneas internas I , se relacionan con

$E = \#$ líneas externas, $V = \#$ de vértices (pueden existir varios tipos de vértices)

$$L = I - (V - 1)$$

L cuenta el # de k 's independientes
En principio hay tantos k 's como líneas internas, pero en cada vértice hay una S de conservación de 4-momenta. Una S es la global $S^{\mu\nu}(P_L - P_R)$.
Quedan $(V-1)$ S 's que eliminan $(V-1)$ momentos internos

en $2\phi^4$

$$4V = E + 2I$$

$4V$ es el # total de patas para combinar
las líneas externas usan E
las líneas internas usan $2I$ patas (empiezan y terminan en algún vértice)

$$D = 4L - 2I = 4(I - V + 1) - 2I = 2I - 4V + 4$$

$$= 2I - (E + 2I) + 4$$

Finalmente, en $\lambda\phi^4$

$$\boxed{D = 4 - E} \quad ; \text{ sólo depende de } E!$$

La teoría es simétrica bajo $\phi \rightarrow -\phi \Rightarrow$ todas las amplitudes con E impar se anulan

Quedan 2 tipos de divergencias

$$D = 2$$



e.g.



$$D = 0$$



e.g.



($E=0$, $D=4$ es la divergencia en la energía del vacío, no observable)

Ejercicio, tarea 4

Determinar D (grado de divergencia superficial)

para teoría con $\mathcal{L} = \frac{1}{2} \partial_\mu \phi \partial^\mu \phi - \frac{1}{2} m^2 \phi^2 - \frac{\lambda_N}{N!} \phi^N$, en 4 dimensiones.

Considerar $N=3$ y $N=5$.

REGULARIZACIÓN DE INTEGRALES DE FEYNMAN

las integrales se regularizan, i.e. se hacen finitas, siguiendo un procedimiento sistemático, tal como

1) usar cut-off Λ

en las integrales se restringe $|k| < \Lambda$

$$\int \frac{d^4 k}{(2\pi)^4} \rightarrow \int^{\Lambda} \frac{d^4 k}{(2\pi)^4}$$

2) hacer regularización dimensional

se considera la dimensión del espacio como un parámetro d

para d suficiente pequeño las integrales convergen

$$\int \frac{d^4 k}{(2\pi)^4} \rightarrow \int \frac{d^d k}{(2\pi)^d}, \text{ luego se expande en } \varepsilon = 4-d$$

Paso previo: Rotación de Wick (de Minkowski a espacio Euclideo)

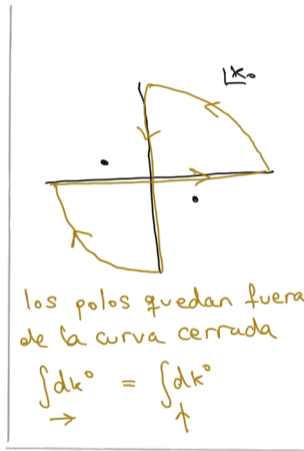
Ejemplo,
$$I = \int \frac{d^4 k}{(2\pi)^4} \frac{1}{(k^2 - m^2 + i\epsilon)^2}$$



equivale a $k^0 = i k_4$, $k^2 = -k_4^2 - k_1^2 - k_2^2 - k_3^2$
 $k^2 = -k_E^2$

$$I = i \int \frac{d^4 k_E}{(2\pi)^4} \frac{1}{(k_E^2 + m^2)^2}$$

ventaja: pasar a esféricas $d^4 k_E = k_E^3 dk_E d\Omega_4$



los polos quedan fuera de la curva cerrada

$$\int_{\rightarrow} dk^0 = \int_{\uparrow} dk^0$$

$$k_E^3 dk_E$$

Evaluación usando cut-off Λ

$$\text{Ejemplo } \mathcal{I} = \int \frac{d^4 k}{(2\pi)^4} \frac{1}{(k^2 - m^2 + i\epsilon)^2} = i \int \frac{d^4 k_E}{(2\pi)^4} \frac{1}{(k_E^2 + m^2)^2}$$

Próximos pasos: pasar a esféricas, introducir Λ

$$\mathcal{I} = \frac{i}{(2\pi)^4} \int d\Omega_4 \int_0^\Lambda dk_E \frac{k_E^3}{(k_E^2 + m^2)^2}$$

$$\mathcal{I} = \frac{i}{16\pi^2} \int_0^{\Lambda^2/m^2} du \frac{u}{(1+u)^2}$$

$$\mathcal{I} = \frac{i}{16\pi^2} \left(\log \frac{\Lambda^2}{m^2} - 1 + \dots \right)$$

divergencia logarítmica

$$\int d\Omega_4 = 2\pi^2$$

área de esfera
 $k_1^2 + k_2^2 + k_3^2 + k_4^2 = 1$

$$\int du \frac{u}{(1+u)^2}$$

$$= \int du \left[\frac{1}{1+u} - \frac{1}{(1+u)^2} \right]$$

Evaluación vía regularización dimensional

$$\text{Ejemplo } \mathcal{I} = \int \frac{d^4 k}{(2\pi)^4} \frac{1}{(k^2 - m^2 + i\epsilon)^2} = i \int \frac{d^4 k_E}{(2\pi)^4} \frac{1}{(k_E^2 + m^2)^2}$$

$$\text{Próximos pasos: } \int \frac{d^4 k_E}{(2\pi)^4} \rightarrow \int \frac{d^d k_E}{(2\pi)^d}, \quad d^d k_E = k_E^{d-1} dk_E d\Omega_d$$

$$\mathcal{I} = \frac{i}{(2\pi)^d} \frac{2\pi^{d/2}}{\Gamma(d/2)} \int_0^\infty dk_E \frac{k_E^{d-1}}{(k_E^2 + m^2)^2}$$

$$\mathcal{I} = \frac{i}{(4\pi)^{d/2} (m^2)^{2-d/2}} \Gamma(2 - \frac{d}{2})$$

$$\int d\Omega_d = \frac{2\pi^{d/2}}{\Gamma(d/2)}$$
$$\int_0^\infty du \frac{u^{d-2}}{(1+u)^2} = \Gamma(\frac{d}{2}) \Gamma(2 - \frac{d}{2})$$

$$\epsilon = 4 - d, \text{ en } \lim_{d \rightarrow 4} \epsilon \rightarrow 0, \quad \Gamma(2 - \frac{d}{2}) = \Gamma(\frac{\epsilon}{2}) = \frac{2}{\epsilon} - \gamma + \dots$$

Polos en $\epsilon = 0 \leftrightarrow$ div. logarítmica

$$\mathbb{I} = \int \frac{d^4 k}{(2\pi)^4} \frac{1}{(k^2 - c^2 + i\epsilon)^2}$$

relevante para



Ejercicio. Evaluar

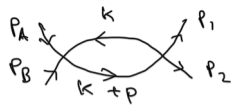
$$\tilde{\mathbb{I}} = \int \frac{d^4 k}{(2\pi)^4} \frac{1}{k^2 - m^2 + i\epsilon}$$

relevante para



vía cut-off y vía regularización dimensional

Regresamos a



$$p = p_A + p_B$$

$$s = (p_A + p_B)^2$$

$$i\mathcal{M}_2(s) = \frac{(-i\lambda)^2}{2} \int \frac{d^4k}{(2\pi)^4} \frac{1}{k^2 - m^2 + i\epsilon} \frac{1}{(k+p)^2 - m^2 + i\epsilon}$$

se usa el truco de Feynman: $\frac{1}{ab} = \int_0^1 dx \frac{1}{[ax + b(1-x)]^2}$

luego se cambia variable a $l = k + xp$

$$i\mathcal{M}_2(s) = \frac{\lambda^2}{2} \int_0^1 dx \int \frac{d^4l}{(2\pi)^4} \frac{1}{(l^2 - c^2 + i\epsilon)^2}, \quad c^2 = m^2 - x(1-x)s$$

I evaluada anteriormente
 $I = \frac{i}{16\pi^2} \log \frac{\Lambda^2}{c^2} + \dots$

$$i\mathcal{M}_2(s) = \frac{i\lambda^2}{32\pi^2} \int_0^1 dx \log \frac{\Lambda^2}{m^2 - x(1-x)s}$$

$$i\mathcal{M}_2(s) = \frac{i\lambda^2}{32\pi^2} \log \frac{\Lambda^2}{s}$$

Próximamente Renormalización

Función Γ de Euler

$$\Gamma(z) = \int_0^{\infty} e^{-u} u^{z-1} du, \quad \operatorname{Re} z > 0$$

integrando por partes

$$\Gamma(z) = \frac{1}{z} \Gamma(z+1) \quad \Rightarrow \quad \Gamma(z+1) = z \Gamma(z)$$
$$\Gamma(n+1) = n!$$

$$\Gamma(z) = \frac{1}{z(z+1)} \Gamma(z+2)$$

$\Gamma(z)$ es analítica excepto por polos en $z = 0, -1, -2, \dots$

$$\Gamma(\varepsilon) = \frac{1}{\varepsilon} - \gamma + O(\varepsilon)$$

$$\Gamma(-1 + \varepsilon) = -\frac{1}{\varepsilon} + \gamma - 1 + O(\varepsilon)$$

$$\gamma = 0.5772$$

constante de Euler-Mascheroni

In[52]:= `Gamma[6] / 5!`

Out[52]= 1

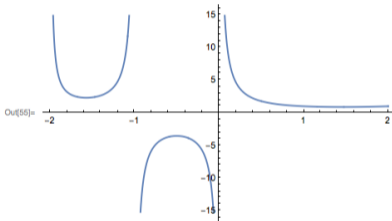
In[53]:= `Gamma[1/2]`

Out[53]= $\sqrt{\pi}$

In[54]:= `Gamma[-1/2]`

Out[54]= $-2\sqrt{\pi}$

In[55]:= `Plot[Gamma[x], {x, -2, 2}]`



Out[55]=

In[56]:= `Series[Gamma[ε], {ε, 0, 1}] // Simplify`

Out[56]= $\frac{1}{\varepsilon} - \text{EulerGamma} + \frac{1}{12} (6 \text{EulerGamma}^2 + \pi^2) \varepsilon + O[\varepsilon]^2$

In[57]:= `EulerGamma // N`

Out[57]= 0.577216

In[58]:= `Series[Gamma[-1+ε], {ε, 0, 1}] // Simplify`

Out[58]= $-\frac{1}{\varepsilon} + (-1 + \text{EulerGamma}) + \left(-1 + \text{EulerGamma} - \frac{\text{EulerGamma}^2}{2} - \frac{\pi^2}{12}\right) \varepsilon + O[\varepsilon]^2$



<http://laconga.redclara.net>



contacto@laconga.redclara.net



lacongapysics



Latin American alliance for
Capacity building in Advanced physics

LA-CoNGA physics



Cofinanciado por el
programa Erasmus+
de la Unión Europea

El apoyo de la Comisión Europea para la producción de esta publicación no constituye una aprobación del contenido, el cual refleja únicamente las opiniones de los autores, y la Comisión no se hace responsable del uso que pueda hacerse de la información contenida en la misma.